ЭЛЕКТРОДИНАМИКА И РАСПРОСТРАНЕНИЕ РАЛИОВОЛН

УЛК 537.874.6

РЕШЕНИЕ ЗАДАЧИ РАССЕЯНИЯ НА ТЕЛЕ ВРАЩЕНИЯ С КУСОЧНО-АНАЛИТИЧЕСКОЙ ФОРМОЙ ОБРАЗУЮЩЕЙ ГИБРИДНЫМ МЕТОДОМ. ОСЕВОЕ ПАДЕНИЕ

© 2021 г. В. А. Калошин^{а, *}, Д. Т. Луу^{b, **}

^аИнститут радиотехники и электроники им. В.А. Котельникова РАН, ул. Моховая, 11, корп. 7, Москва, 125009 Российская Федерация

^b Московский физико-технический институт (национальный исследовательский университет), Институтский пер., 9, Долгопрудный Московской обл., 141700 Российская Федерация

*E-mail: vak@cplire.ru

***E-mail: luuductho@phystech.edu*Поступила в редакцию 24.12.2019 г.
После доработки 15.01.2020 г.
Принята к публикации 17.01.2020 г.

Рассмотрена задача рассеяния плоской электромагнитной волны, падающей вдоль оси на круглый идеально-проводящий цилиндр, ограниченный по торцам полусферами. Для решения задачи использован гибридный метод, сочетающий метод собственных функций, последовательных дифракций и принцип эквивалентности. Проведено сравнение результатов расчета диаграммы рассеяния двумя вариантами гибридного метода, методом моментов и методом Гюйгенса—Френеля—Кирхгофа.

DOI: 10.31857/S0033849421050065

ВВЕДЕНИЕ

При решении задач рассеяния акустических и электромагнитных волн на телах вращения с кусочно-аналитической формой поверхности применяются как численные методы: моментов, конечных элементов, конечных разностей во временной области, Т-матриц, так и асимптотические: метод Гюйгенса—Френеля—Кирхгофа (ГФК), геометрическая теория дифракции, метод параболического уравнения [1—5].

В случае когда хотя бы один из характерных электрических размеров задачи мал, асимптотические методы приводят к серьезным погрешностям. Если хотя бы один из этих размеров велик, использование численных методов требует больших размеров оперативной памяти компьютера. В работах [6, 7] предложен гибридный метод решения подобных задач и в качестве примера решена двумерная задача рассеяния на цилиндре с кусочно-аналитической образующей.

Гибридный метод основан на сочетании метода собственных функций, последовательных дифракций и принципа эквивалентности (строгой формулировки метода $\Gamma\Phi K$).

В данной работе гибридный метод, предложенный в работах [6, 7], использован для решения трехмерной задачи рассеяния плоской электромагнитной волны на теле вращения в виде

кругового цилиндра, ограниченного по торцам полусферами.

1. РЕШЕНИЕ ЗАДАЧИ ГИБРИДНЫМ МЕТОДОМ

Пусть на идеально-проводящей цилиндр вдоль его оси падает плоская электромагнитная волна, вектор электрического поля которой для определенности параллелен оси x, где a — радиус полусфер, h — длина цилиндра (рис. 1). Решение задачи рассеяния плоской волны сводится к задаче нахождения тока на поверхности тела S. Разобьем поверхность S на три участка: S_1 и S_3 (поверхности полусфер) и S_2 (поверхность цилиндра), и рассмотрим последовательное рассеяние плоской волны на этих поверхностях.

Решение задачи рассеяния на поверхности S_1 будем искать в виде ряда по собственным функциям (ряда Ми) [1, 2]. Компоненты полного поля в сферических координатах (r_1 , θ_1 , ϕ_1) при этом имеют вил:

$$E_{r_{1}} = \frac{1}{r_{1}} \sum_{m=0}^{\infty} m(m+1) U_{m}^{9}, \quad H_{\varphi_{1}} = i \omega \varepsilon_{a} \sum_{m=0}^{\infty} \frac{\partial U_{m}^{9}}{\partial \theta_{1}} + \frac{1}{r_{1} \sin(\theta_{1})} \sum_{m=0}^{\infty} \frac{\partial^{2} (r_{1} U_{m}^{M})}{\partial \varphi_{1} \partial r_{1}}, \quad H_{r_{1}} = \frac{1}{r_{1}} \sum_{m=0}^{\infty} m(m+1) U_{m}^{M},$$

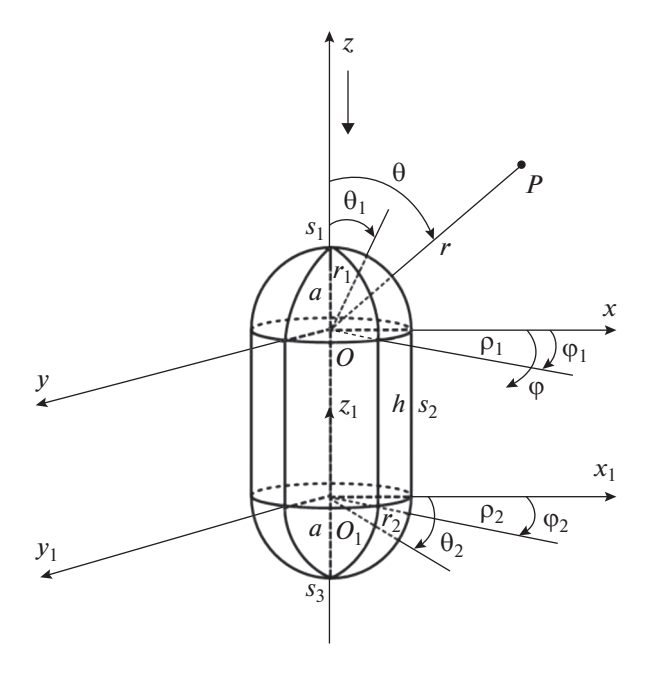


Рис. 1. Геометрия задачи.

$$H_{\theta_{1}} = \frac{-i\omega\varepsilon_{a}}{\sin(\theta_{1})} \sum_{m=0}^{\infty} \frac{\partial U_{m}^{9}}{\partial \varphi_{1}} + \frac{1}{r_{1}} \sum_{m=0}^{\infty} \frac{\partial^{2}(r_{1}U_{m}^{M})}{\partial \theta_{1}\partial r_{1}},$$

$$E_{\varphi_{1}} = \frac{1}{r_{1}} \frac{1}{\sin(\theta_{1})} \sum_{m=0}^{\infty} \frac{\partial^{2}(r_{1}U_{m}^{9})}{\partial \varphi_{1}\partial r_{1}} - i\omega\mu_{a} \sum_{m=0}^{\infty} \frac{\partial U_{m}^{M}}{\partial \theta_{1}},$$

$$E_{\theta_{1}} = \frac{1}{r_{1}} \sum_{m=0}^{\infty} \frac{\partial^{2}(r_{1}U_{m}^{9})}{\partial \theta_{1}\partial r_{1}} + \frac{i\omega\mu_{a}}{\sin\theta_{1}} \sum_{m=0}^{\infty} \frac{\partial U_{m}^{M}}{\partial \varphi_{1}},$$

$$U_{m}^{9} = \frac{2m+1}{m(m+1)} \frac{(-i)^{m-1}}{k} \times \qquad (1)$$

$$\times \left[\psi_{m}(kr_{1}) - \xi_{m}^{(1)}(kr_{1}) \frac{\partial (a\psi_{m}(ka))}{\partial a} \right] P_{m}^{1}(\cos(\theta_{1})) \cos(\varphi_{1}),$$

$$U_{m}^{M} = -\frac{2m+1}{m(m+1)} \frac{(-i)^{m-1}\omega\varepsilon_{a}}{k^{2}} \times \times \left[\psi_{m}(kr_{1}) - \xi_{m}^{(1)}(kr_{1}) \frac{\psi_{m}(ka)}{\xi_{m}^{(1)}(ka)} \right] P_{m}^{1}(\cos(\theta_{1})) \sin(\varphi_{1}),$$

где ψ_m — сферические функции Бесселя, ξ_m^1 — сферические функции Ханкеля, P_m^1 — функция Лежандра.

Токи на полусфере S_1 определяются по формулам: $j_{\theta_1}=H_{\phi_1},\ j_{\phi_1}=-H_{\theta_1},\ r_1=a,$ а выражения для компонент магнитного поля приведены в (1).

В цилиндрической системе координат (ρ_1 , ϕ_1 , z) эквивалентные токи на плоскости xy имеют вид:

$$J_{\varphi_1}^{\circ} = -H_{\rho_1}, \quad J_{\rho_1}^{\scriptscriptstyle M} = -E_{\varphi_1}, \quad J_{\rho_1}^{\circ} = H_{\varphi_1}, \quad J_{\varphi_1}^{\scriptscriptstyle M} = E_{\rho_1}. \quad (2)$$

Далее определим векторные потенциалы в области между плоскостями xy и x_1y_1 по формулам:

$$A_{r} = \oint_{S} \left[J_{r} \cos(\varphi_{2} - \varphi_{1}) + J_{\varphi} \sin(\varphi_{2} - \varphi_{1}) \right] G dS,$$

$$A_{\varphi} = \oint_{S} \left[J_{\varphi} \cos(\varphi_{2} - \varphi_{1}) - J_{r} \sin(\varphi_{2} - \varphi_{1}) \right] G dS.$$
(3)

В результате получим

$$A_{\varphi_{2}}^{9} = \int_{a}^{\infty} \int_{0}^{2\pi} \rho_{1} \left[J_{\varphi_{1}}^{9} \cos(\varphi_{2} - \varphi_{1}) - J_{\rho_{1}}^{9} \sin(\varphi_{2} - \varphi_{1}) \right] \times \\ \times G_{1} d\varphi_{1} d\rho_{1}, \\ A_{\varphi_{2}}^{M} = \int_{a}^{\infty} \int_{0}^{2\pi} \rho_{1} \left[J_{\varphi_{1}}^{M} \cos(\varphi_{2} - \varphi_{1}) - J_{\rho_{1}}^{M} \sin(\varphi_{2} - \varphi_{1}) \right] \times \\ \times G_{1} d\varphi_{1} d\rho_{1}, \\ A_{\rho_{2}}^{9} = \int_{a}^{\infty} \int_{0}^{2\pi} \rho_{1} \left[J_{\rho_{1}}^{9} \cos(\varphi_{2} - \varphi_{1}) + J_{\varphi_{1}}^{9} \sin(\varphi_{2} - \varphi_{1}) \right] \times \\ \times G_{1} d\varphi_{1} d\rho_{1}, \\ A_{\rho_{2}}^{M} = \int_{a}^{\infty} \int_{0}^{2\pi} \rho_{1} \left[J_{\rho_{1}}^{M} \cos(\varphi_{2} - \varphi_{1}) + J_{\varphi_{1}}^{M} \sin(\varphi_{2} - \varphi_{1}) \right] \times \\ \times G_{1} d\varphi_{1} d\rho_{1},$$

$$\times G_{1} d\varphi_{1} d\rho_{1},$$

$$\times G_{1} d\varphi_{1} d\rho_{1},$$

где

$$G_{1} = \frac{-1}{8\pi i} \sum_{m=-\infty}^{\infty} \exp\left[im(\varphi_{2} - \varphi_{1})\right] \times$$

$$\times \int_{\eta=-\infty}^{\infty} \left[J_{m}(\eta \rho_{<}) - \frac{\Omega J_{m}(\eta a)}{\Omega H_{m}^{(1)}(\eta a)} H_{m}^{(1)}(\eta \rho_{<}) \right] H_{m}^{(1)}(\eta \rho_{>}) \times$$

$$\times \frac{\exp\left[i\sqrt{k^{2} - \eta^{2}}|z|\right]}{\sqrt{k^{2} - \eta^{2}}} \eta d\eta$$

— функция Грина на цилиндре [2], $\Omega=1$ — для нахождения компонент поля E_{ϕ_2} и H_{ρ_2} , $\Omega=\partial/\partial a$ — для нахождения компоненты поля H_{ϕ_2} , E_{ρ_2} и H_z , $\rho_<=\rho_1$, $\rho_>=\rho_2$ при $\rho_2>\rho_1$ и $\rho_<=\rho_2$, $\rho_>=\rho_1$ при $\rho_2<\rho_1$.

Компоненты полного поля в области между плоскостями xy и x_1y_1 вычисляются по формулам

$$\begin{split} E_{\mathbf{q}_2} &= \frac{1}{-i\omega\epsilon_a} \left[k^2 A_{\mathbf{q}_2}^{\mathbf{3}} + \frac{1}{\rho_2} \frac{\partial}{\partial \mathbf{q}_2} \times \right. \\ &\times \left[\frac{1}{\rho_2} \frac{\partial}{\partial \rho_2} \left(\mathbf{p}_2 A_{\mathbf{p}_2}^{\mathbf{3}} \right) + \frac{1}{\rho_2} \frac{\partial}{\partial \mathbf{q}_2} A_{\mathbf{q}_2}^{\mathbf{3}} \right] \right] - \frac{\partial}{\partial z} A_{\mathbf{p}_2}^{\mathbf{M}}, \\ &\quad \left. H_{\mathbf{p}_2} = \frac{1}{-i\omega\mu_a} \left[k^2 A_{\mathbf{p}_2}^{\mathbf{M}} + \frac{\partial}{\partial \mathbf{p}_2} \times \right. \\ &\quad \left. \times \left[\frac{1}{\rho_2} \frac{\partial}{\partial \rho_2} \left(\mathbf{p}_2 A_{\mathbf{p}_2}^{\mathbf{M}} \right) + \frac{1}{\rho_2} \frac{\partial}{\partial \mathbf{q}_2} A_{\mathbf{q}_2}^{\mathbf{M}} \right] \right] - \frac{\partial}{\partial z} A_{\mathbf{q}_2}^{\mathbf{3}}, \\ &\quad \left. H_z = \frac{1}{-i\omega\mu_a} \frac{\partial}{\partial z} \left[\frac{1}{\rho_2} \frac{\partial}{\partial \mathbf{p}_2} \left(\mathbf{p}_2 A_{\mathbf{p}_2}^{\mathbf{M}} \right) + \frac{1}{\rho_2} \frac{\partial}{\partial \mathbf{q}_2} A_{\mathbf{q}_2}^{\mathbf{M}} \right] + \\ &\quad \left. + \frac{1}{\rho_2} \left[\frac{\partial}{\partial \rho_2} \left(\mathbf{p}_2 A_{\mathbf{q}_2}^{\mathbf{3}} \right) - \frac{\partial}{\partial \mathbf{q}_2} A_{\mathbf{p}_2}^{\mathbf{3}} \right], \end{split}$$

$$E_{\rho_{2}} = \frac{1}{-i\omega\varepsilon_{a}} \left[k^{2} A_{\rho_{2}}^{3} + \frac{\partial}{\partial \rho_{2}} \times \right]$$

$$\times \left[\frac{1}{\rho_{2}} \frac{\partial}{\partial \rho_{2}} \left(\rho_{2} A_{\rho_{2}}^{3} \right) + \frac{1}{\rho_{2}} \frac{\partial}{\partial \phi_{2}} A_{\phi_{2}}^{3} \right] + \frac{\partial}{\partial z} A_{\phi_{2}}^{M},$$

$$H_{\phi_{2}} = \frac{1}{-i\omega\mu_{a}} \left[k^{2} A_{\phi_{2}}^{M} + \frac{1}{\rho_{2}} \frac{\partial}{\partial \phi_{2}} \times \right]$$

$$\times \left[\frac{1}{\rho_{2}} \frac{\partial}{\partial \rho_{2}} \left(\rho_{2} A_{\rho_{2}}^{M} \right) + \frac{1}{\rho_{2}} \frac{\partial}{\partial \phi_{2}} A_{\phi_{2}}^{M} \right] + \frac{\partial}{\partial z} A_{\rho_{2}}^{3}.$$
(5)

Подставляя в формулу (5) значение $\rho_2 = a$, находим компоненты магнитного поля и тока $j_{\phi_2} = H_z$, $j_z = -H_{\phi_2}$ на поверхности S_2 . Далее находим токи на полусфере S_3 с использованием токового варианта гибридного метода:

$$j_{\theta_{3}} = \frac{1}{r_{3}} \left[\frac{\partial}{\partial r_{3}} (r_{3} A_{\theta_{3}}^{3}) - \frac{\partial}{\partial \theta_{3}} A_{r_{3}}^{3} \right] + \exp(ikh) j_{\theta_{1}},$$
при $r_{3} = a$, (6)
$$j_{\phi_{3}} = \frac{-1}{r_{3}} \left[\frac{1}{\sin \theta_{3}} \frac{\partial}{\partial \phi_{3}} (A_{r_{3}}^{3}) - \frac{\partial}{\partial r_{3}} (r_{3} A_{\phi_{3}}^{3}) \right] + \exp(ikh) j_{\phi_{1}},$$

$$cos m(\phi_{3} - \phi_{2}) P_{n}^{m} (\cos \theta_{3}) P_{n}^{m} (\cos (\arctan(a/z)))$$

$$- \phi$$

$$+ \pi i \frac{\pi i \frac{\pi}{m=0} \frac{\pi}{n=m} (n+m)!}{\frac{\partial(a \psi_{n}(ka))/\partial a}{\partial (a \xi_{n}^{(1)}(ka))/\partial a} \xi_{n}^{(1)}(kr_{3})} \right] \xi_{n}^{(1)}(k\sqrt{a^{2}+z^{2}}),$$

$$\cos m(\phi_{3} - \phi_{2}) P_{n}^{m} (\cos \theta_{3}) P_{n}^{m} (\cos (\arctan(a/z)))$$

$$- \phi$$

$$+ \phi$$

$$+ \pi i \frac{\pi}{m=0} \frac{\pi}{n=m} (n+m)!$$

$$+ (1 + m)!$$

$$+ (1 + m$$

 $A_{r_3}^{9} = \sin \theta_3 \int_{0}^{h} \int_{0}^{2\pi} a j_{\varphi_2} \sin(\varphi_3 - \varphi_2) G_2 dz d\varphi_2 + \\ + \cos \theta_3 \int_{0}^{h} \int_{0}^{2\pi} a j_z G_2 dz d\varphi_2,$ $A_{\theta_3}^{9} = \cos \theta_3 \int_{0}^{h} \int_{0}^{2\pi} a j_{\varphi_2} \sin(\varphi_3 - \varphi_2) G_2 dz d\varphi_2 - \\ - \sin \theta_3 \int_{0}^{h} \int_{0}^{2\pi} a j_z G_2 dz d\varphi_2,$ $A_{\varphi_3}^{9} = \int_{0}^{h} \int_{0}^{2\pi} a j_{\varphi_2} \cos(\varphi_3 - \varphi_2) G_2 dz d\varphi_2,$ $G_2 = \frac{-k}{4\pi i} \sum_{m=0}^{\infty} \sum_{n=m}^{\infty} \varepsilon_m \frac{(2n+1)(n-m)!}{(n+m)!} \times \\ \times \left[\psi_n(kr_3) - \frac{\partial (a\psi_n(ka))/\partial a}{\partial (a\xi_n^{(1)}(ka))/\partial a} \xi_n^{(1)}(kr_3) \right] \xi_n^{(1)}(k\sqrt{a^2 + z^2}) \\ \cos m(\varphi_3 - \varphi_2) P_n^m(\cos \theta_3) P_n^m\left(\cos\left(\arctan(a/z)\right)\right) - \phi$ ϕ

Найдем токи на полусфере S_3 с использованием апертурного варианта гибридного метода. Подставляя в формулу (5) значения z = -h, находим компоненты поля в плоскости x_1y_1 по формулам:

$$J_{\varphi_{2}}^{9} = -H_{\varrho_{2}}, \quad J_{\varrho_{2}}^{M} = -E_{\varphi_{2}}, \quad J_{\varrho_{2}}^{9} = H_{\varphi_{3}}, \quad J_{\varphi_{2}}^{M} = E_{\varrho_{2}}.$$
 (7)

Векторные потенциалы в сферических координатах имеют вид

$$A_{\varphi_{3}}^{9} = \int_{a}^{\infty} \int_{0}^{2\pi} \rho_{2} \left[J_{\varphi_{2}}^{9} \cos(\varphi_{3} - \varphi_{2}) - J_{\rho_{2}}^{9} \sin(\varphi_{3} - \varphi_{2}) \right] G_{2} d\varphi_{2} d\rho_{2},$$

$$A_{\varphi_{3}}^{M} = \int_{a}^{\infty} \int_{0}^{2\pi} \rho_{2} \left[J_{\varphi_{2}}^{M} \cos(\varphi_{3} - \varphi_{2}) - J_{\rho_{2}}^{M} \sin(\varphi_{3} - \varphi_{2}) \right] G_{2} d\varphi_{2} d\rho_{2},$$

$$A_{r_{3}}^{9} = \sin \theta_{3} \int_{a}^{\infty} \int_{0}^{2\pi} \rho_{2} \left[J_{\rho_{2}}^{9} \cos(\varphi_{3} - \varphi_{2}) + J_{\varphi_{2}}^{9} \sin(\varphi_{3} - \varphi_{2}) \right] G_{2} d\varphi_{2} d\rho_{2},$$

$$A_{r_{3}}^{M} = \sin \theta_{3} \int_{a}^{\infty} \int_{0}^{2\pi} \rho_{2} \left[J_{\rho_{2}}^{M} \cos(\varphi_{3} - \varphi_{2}) + J_{\varphi_{2}}^{M} \sin(\varphi_{3} - \varphi_{2}) \right] G_{2} d\varphi_{2} d\rho_{2},$$

$$A_{\theta_{3}}^{9} = \cos \theta_{3} \int_{a}^{\infty} \int_{0}^{2\pi} \rho_{2} \left[J_{\rho_{2}}^{9} \cos(\varphi_{3} - \varphi_{2}) + J_{\varphi_{2}}^{9} \sin(\varphi_{3} - \varphi_{2}) \right] G_{2} d\varphi_{2} d\rho_{2},$$

$$A_{\theta_{3}}^{M} = \cos \theta_{3} \int_{a}^{\infty} \int_{0}^{2\pi} \rho_{2} \left[J_{\rho_{2}}^{M} \cos(\varphi_{3} - \varphi_{2}) + J_{\varphi_{2}}^{M} \sin(\varphi_{3} - \varphi_{2}) \right] G_{2} d\varphi_{2} d\rho_{2}.$$

$$(8)$$

В результате для тока на поверхности S_3 ($r_3 = a$) получаем:

$$j_{\theta_{3}}^{9} = \frac{-1}{i\omega\mu_{a}} \left[k^{2} A_{\varphi_{3}}^{M} + \frac{1}{r_{3}\sin\theta_{3}} \frac{\partial}{\partial\varphi_{3}} \left(\frac{1}{r_{3}^{2}} \frac{\partial(r_{3}^{2} A_{r_{3}}^{M})}{\partial r_{3}} + \frac{1}{r_{3}\sin\theta_{3}} \frac{\partial(\sin\theta_{3} A_{\theta_{3}}^{M})}{\partial\theta_{3}} + \frac{1}{r_{3}\sin\theta_{3}} \frac{\partial A_{\varphi_{3}}^{M}}{\partial\varphi_{3}} \right) \right] + \frac{1}{r_{3}} \left[\frac{\partial}{\partial r_{3}} \left(r_{3} A_{\theta_{3}}^{9} \right) - \frac{\partial}{\partial\theta_{3}} A_{r_{3}}^{9} \right],$$

$$j_{\varphi_{3}}^{9} = \frac{1}{i\omega\mu_{a}} \left[k^{2} A_{\theta_{3}}^{M} + \frac{1}{r_{3}} \frac{\partial}{\partial\theta_{3}} \left(\frac{1}{r_{3}^{2}} \frac{\partial(r_{3}^{2} A_{r_{3}}^{M})}{\partial r_{3}} + \frac{1}{r_{3}\sin\theta_{3}} \frac{\partial(\sin\theta_{3} A_{\theta_{3}}^{M})}{\partial\theta_{3}} + \frac{1}{r_{3}\sin\theta_{3}} \frac{\partial A_{\varphi_{3}}^{M}}{\partial\varphi_{3}} \right) \right] + \frac{1}{r_{3}} \left[\frac{\partial}{\partial r_{3}} \left(r_{3} A_{\theta_{3}}^{9} \right) - \frac{\partial}{\partial\theta_{3}} A_{r_{3}}^{9} \right].$$

$$(9)$$

$$+ \frac{1}{r_{3}} \left[\frac{1}{\sin\theta_{3}} \left(r_{3} A_{\theta_{3}}^{9} \right) - \frac{\partial}{\partial\theta_{3}} A_{r_{3}}^{9} \right].$$

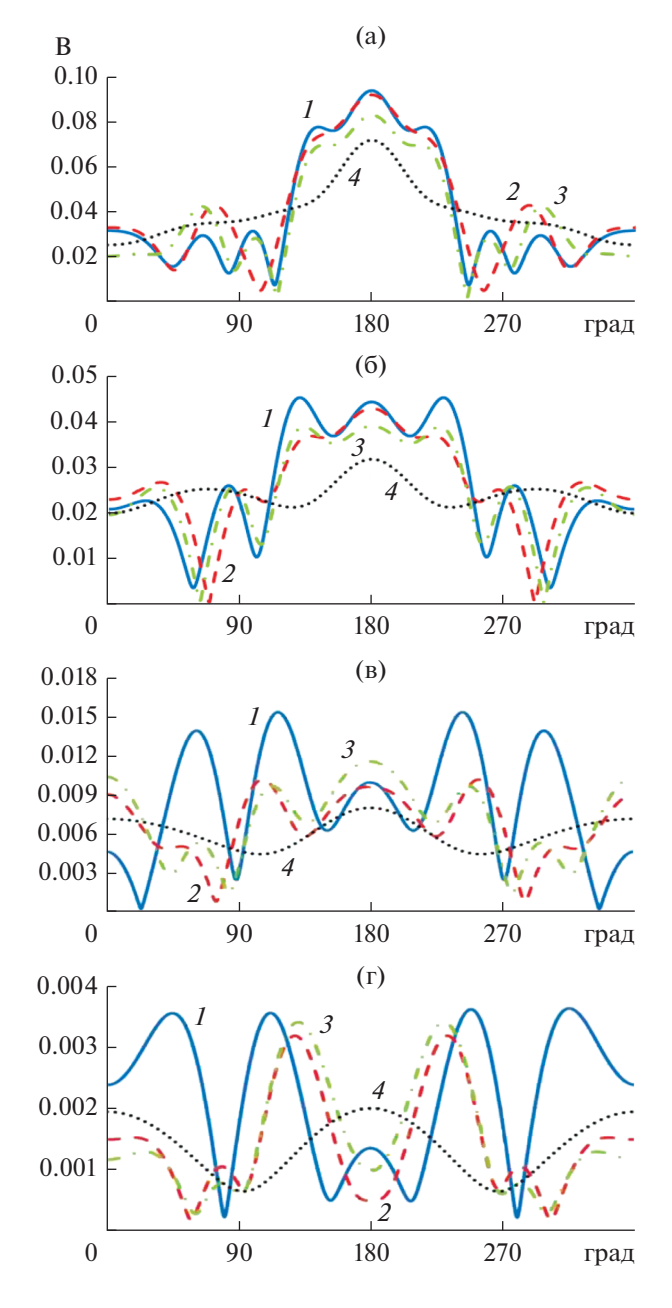


Рис. 2. Диаграммы рассеяния в *E*-плоскости ($\phi = 0$) при ka = 3 (a), 2 (б), 1 (в), 0.5 (г).

Таким образом, мы нашли токи на всей поверхности тела с использованием двух вариантов гибридного метода. Далее находим диаграмму рассеяния по известной формуле [1]:

$$E = \frac{-1}{i\omega\varepsilon_a} (k^2 A^3 + \operatorname{grad} \operatorname{div} A^3).$$
 (10)

При интегрировании по S_1 и S_3 будем использовать сферические координаты (r_1, θ_1, ϕ_1) и (r_3, θ_3, ϕ_3) с центрами в точке O и O_1 соответственно, а при интегрировании по S_2 — цилиндрическую систему координат.

В результате для диаграммы рассеяния при учете токов на S_1 получаем:

$$E_{\varphi}^{1} = \frac{k^{2}}{-i\omega\varepsilon_{a}}A_{\varphi}^{3}, \quad E_{\theta}^{1} = \frac{k^{2}}{-i\omega\varepsilon_{a}}A_{\theta}^{3}, \quad (11)$$
где $A_{\theta}^{3} = a^{2}\int_{0}^{\pi/2}\int_{0}^{2\pi}\sin(\theta_{1})\frac{\partial}{\partial\theta}\times$

$$\times \left[j_{\theta_{1}}\frac{\partial\cos\beta}{\partial\theta_{1}} + j_{\varphi_{1}}\frac{1}{\sin(\theta_{1})}\frac{\partial\cos\beta}{\partial\varphi_{1}}\right]G_{0}\,d\varphi_{1}d\theta_{1},$$

$$A_{\varphi}^{3} = \frac{a^{2}}{\sin(\theta)}\int_{0}^{\pi/2}\int_{0}^{2\pi}\sin(\theta_{1})\frac{\partial}{\partial\varphi}\times$$

$$\times \left[j_{\theta_{1}}\frac{\partial\cos\beta}{\partial\theta_{1}} + j_{\varphi_{1}}\frac{1}{\sin(\theta_{1})}\frac{\partial\cos\beta}{\partial\varphi_{1}}\right]G_{0}\,d\varphi_{1}d\theta_{1},$$

$$G_{0} = \frac{1}{4\pi}\frac{\exp(ikr)}{r}\times$$

 $\times \exp\left[-ika\left(\cos\theta\cos\theta_1 + \sin\theta\sin\theta_1\cos(\phi - \phi_1)\right)\right]$

— функция Грина свободного пространства в сферических координатах, $\cos \beta = \cos(\theta)\cos(\theta_1) + +\sin(\theta)\sin(\theta_1)\cos(\phi-\phi_1)$.

Вклад токов на поверхности S_2 в диаграмму рассеяния:

$$E_{\varphi}^{2} = \frac{k^{2}}{-i\omega\varepsilon_{a}}A_{\varphi}^{9}, \quad E_{\theta}^{2} = \frac{k^{2}}{-i\omega\varepsilon_{a}}A_{\theta}^{9}, \tag{12}$$

где
$$A_{\theta}^{\ni} = -a \sin \theta \int_{0}^{-h} \int_{0}^{2\pi} j_{z} G_{0} d\phi_{2} dz,$$
 $A_{\phi}^{\ni} = a \times \int_{0}^{-h} \int_{0}^{2\pi} \cos(\phi - \phi_{2}) j_{\phi_{2}} G_{0} d\phi_{2} dz.$

Вклад токов на поверхности S_3 в диаграмму рассеяния:

$$E_{\varphi}^{3} = \frac{k^{2}}{-i\omega\varepsilon_{a}}A_{\varphi}^{3}, \quad E_{\theta}^{3} = \frac{k^{2}}{-i\omega\varepsilon_{a}}A_{\theta}^{3}, \tag{13}$$

$$\text{где } A_{\theta}^{3} = a^{2}\int_{\pi/2}^{\pi}\int_{0}^{2\pi}\sin(\theta_{3})\frac{\partial}{\partial\theta}\times \\ \times \left[j_{\theta_{3}}\frac{\partial\cos\beta}{\partial\theta_{3}} + j_{\phi_{3}}\frac{1}{\sin(\theta_{3})}\frac{\partial\cos\beta}{\partial\phi_{3}}\right]G_{0}d\phi_{3}d\theta_{3},$$

$$A_{\varphi}^{3} = \frac{a^{2}}{\sin(\theta)}\int_{\pi/2}^{\pi}\int_{0}^{2\pi}\sin(\theta_{3})\frac{\partial}{\partial\phi}\times \\ \times \left[j_{\theta_{3}}\frac{\partial\cos\beta}{\partial\theta_{3}} + j_{\phi_{3}}\frac{1}{\sin(\theta_{3})}\frac{\partial\cos\beta}{\partial\phi_{3}}\right]G_{0}d\phi_{3}d\theta_{3},$$

$$\cos\beta = \cos(\theta)\cos(\theta_{3}) + \sin(\theta)\sin(\theta_{3})\cos(\phi - \phi_{3}).$$

В результате, суммируя вклады всех токов для диаграммы рассеяния, получаем

$$E_{\varphi} = E_{\varphi}^{1} + E_{\varphi}^{2} + \exp[ikh\cos(\theta)]E_{\varphi}^{3},$$

$$E_{\theta} = E_{\theta}^{1} + E_{\theta}^{2} + \exp[ikh\cos(\theta)]E_{\theta}^{3}.$$
(14)

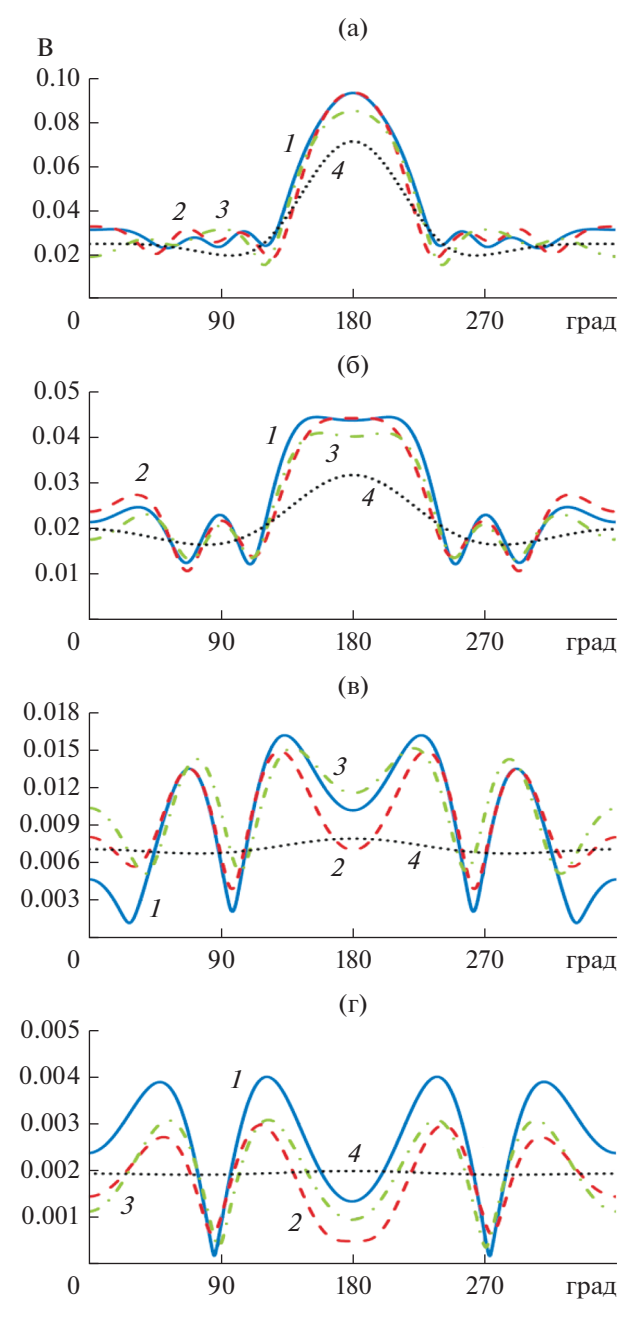


Рис. 3. Диаграммы рассеяния в *H*-плоскости ($\phi = 90^{\circ}$) при ka = 3 (a), 2 (б), 1 (в), 0.5 (г).

2. ЧИСЛЕННЫЕ РЕЗУЛЬТАТЫ

На рис. 2, 3 приведены результаты расчета диаграммы рассеяния плоской волны на цилиндре с электрической длиной kh = 5 для различных ka в E- и H-плоскостях соответственно. Кривая 1 по-казывает результаты расчета методом моментов, 2 — гибридным методом (апертурный вариант), 3 — гибридным методом (токовый вариант), 4 — методом $\Gamma\Phi K$.

Как видно из рис. 2 и 3, диаграммы рассеяния в *Е*-плоскости, рассчитанные методом моментов

и гибридным методом, достаточно хорошо совпадают при ka > 2. При этом лучшее совпадение обеспечивает апертурный вариант гибридного метода. Метод ГФК дает только качественное описание диаграммы рассеяния. При ka = 1 и менее совпадение наблюдается только в области рассеяния вперед. В Н-плоскости совпадение результатов, полученное двумя вариантами гибридного метода и методом моментов, наблюдается для всех исследованных значений ка. При этом разница между этими результатами, как и в E-плоскости, уменьшается с ростом ka. Метод ГФК не дает даже качественного описания диаграммы рассеяния в Н-плоскости. Наиболее точные результаты расчета при использовании гибридного метода наблюдаются в обеих плоскостях при рассеянии вперед, наименее точные при рассеянии назад.

ЗАКЛЮЧЕНИЕ

На основании сравнения результатов расчета диаграммы рассеяния двумя вариантами гибридного метода и методом моментов можно сделать следующие выводы.

- 1. Применение обоих вариантов гибридного метода, в отличие от метода Гюйгенса—Френеля—Кирхгофа, позволяет обеспечить хорошее совпадение с результатами расчета диаграммы рассеяния методом моментов при соотношении радиуса тела вращения к длине волны более 0.3, а в *H*-плоскости и для меньших значений.
- 2. Наиболее точные результаты расчета при использовании гибридного метода наблюдаются при рассеянии вперед, наименее точные при рассеянии назад, что можно объяснить, во-первых, приближенным характером моделей при вычислении токов на различных частях тела, а вовторых, учетом последовательных дифракций только в одном направлении.

СПИСОК ЛИТЕРАТУРЫ

- 1. *Марков Г.Т., Чаплин А.Ф.* Возбуждение электромагнитных волн. М.; Л.: Энергия, 1967.
- 2. *Фелсен Л., Маркувиц Н.* Излучение и рассеяние волн. М.: Мир, 1978.
- 3. *Боровиков В.А., Кинбер Б.Е.* Геометрическая теория дифракции. М.: Связь, 1978.
- 4. *Фок В.А.* Проблемы дифракции и распространения электромагнитных волн. М.: Сов. радио, 1970.
- 5. *Kleshchev A.A.* // J. Acoustics. 2016. V. 6. № 4. P. 45.
- 6. *Kaloshin V.A., Luu D.T.* // Int. Sci. Conf. "Radiation and Scattering of Electromagnetic Waves RSEMW-2019", Divnomorskoe, 24—28 Jun, 2019. N.Y.: IEEE, P. 232. https://ieeexplore.ieee.org/document/8792743.
- 7. Калошин В.А., Луу Д.Т. // РЭ. 2020. Т. 65. № 5. С. 457.